

**Emissieschattingen Diffuse bronnen
Emissieregistratie**

**Atmosferische Depositie op
Nederland en Nederlands
Continentaal Plat**

Versie juli 2022

In opdracht van RIJKSWATERSTAAT – WVL
Uitgevoerd door TNO, DELTARES en RIVM

Atmosferische Depositie op Nederland en Nederlands Continentaal Plat

1 Omschrijving emissiebron

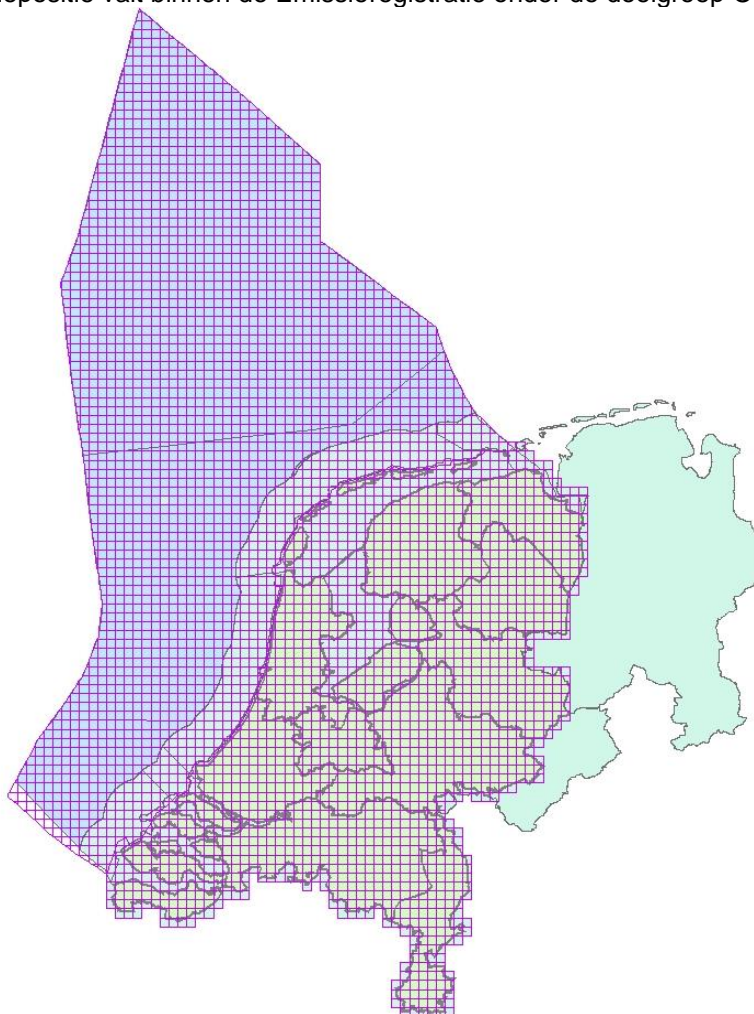
Atmosferische depositie van stoffen op water en bodem kan omschreven worden als een belasting van het oppervlaktewater dan wel de bodem via de lucht. Voor de hier gepresenteerde stoffen vindt de emissie van stoffen in eerste instantie naar de lucht plaats. De emissie naar de lucht wordt gegeven door de bij Emissieregistratie (ER) bekende bronnen in Nederland en Europa. Na emissie vanuit deze bronnen naar de atmosfeer worden stoffen verspreid door de atmosfeer waarna ze via de lucht (droge depositie) en via neerslag (natte depositie) in het water en op de bodem terecht komen.

Figuur 1 geeft een overzicht van het rekengebied dat in deze studie gebruikt is.

De depositie is in deze studie berekend voor Nederland en het Nederlands Continentaal Plat (NCP). Daarbij worden de volgende emissieoorzaken onderscheiden:

E400100	depositie op oppervlaktewater
E400100	depositie op riool
E901411	depositie op bodem

De atmosferische depositie valt binnen de Emissieregistratie onder de doelgroep Overig.



figuur 1: Overzichtkaart van het rekengebied dat gebruikt is in deze studie (alleen het gerasterde gedeelte).

Opgemerkt wordt dat er wel gerekend is voor het Duitse gedeelte van de Dollard, maar dat deze cijfers niet in de Emissieregistratie zijn opgenomen.

2 Toelichting berekeningswijze

Voor tijdreeksen van depositie is het van belang dat er consistentie is in de methodiek waarop die wordt uitgerekend. Als er alleen naar metingen wordt gekeken, dan is het b.v. van belang dat eenzelfde set van meetstations wordt gebruikt en eenzelfde meetmethode in de tijd. Veranderingen in het aantal meetstations of veranderingen in de meetmethode kunnen tot inconsistenties in de tijdreeks leiden. Ditzelfde geldt voor modelberekeningen. Hiervoor is het van belang dat een consistente emissiereeks en dezelfde modelversie worden gebruikt. Daarnaast moeten de datafusiemethodes (methodes om de modeldata en de metingen te combineren, ook wel kalibratiemethodes genoemd) consistent zijn in de tijd.

De berekening van de stikstofdepositie volgt een iets andere route dan de overige berekende stoffen voor de Emissieregistratie. Dit komt o.a. doordat de emissiegegevens, modelversies en datafusiemethoden jaarlijks door RIVM worden aangepast aan de nieuwste inzichten. RIVM update jaarlijks de tijdreeksen voor stikstofdepositie. Voor de overige stoffen wordt eenmalig een berekening uitgevoerd die met trendfactoren wordt geupdated. In de toelichting wordt eerst ingegaan op de stikstofberekeningen en vervolgens op de overige stoffen.

2.1 Stikstof

De stikstofdepositie op water en bodem van 2005 tot en met 2020 is eind 2021 door RIVM doorgerekend. Voor deze berekeningen zijn de emissies naar lucht uit de emissiereeks 1990-2019 van de Emissieregistratie gebruikt, die in 2021 zijn gerapporteerd. Voor de buitenlandse emissies naar lucht zijn de door de landen zelf aan de EU gerapporteerde gegevens gebruikt van het Centre on Emission Inventories and Projections (CEIP). Voor het jaar 2020 zijn in beide gevallen de emissietotalen van het laatst beschikbare jaar gebruikt, maar is wel met de meteorologie van 2020 gerekend.

Modelberekening

Zoet oppervlaktewater

De modelversie van OPS die voor de berekeningen is gebruikt is versie 5.0.1¹. Dit is dezelfde modelversie als die voor de Grootchalige Concentratie- en Depositiekaarten Nederland (GCN/GDN) van RIVM voor het jaar 2020 is gebruikt. Voor de jaren vóór 2005 is geen herberekening uitgevoerd omdat de ruimtelijke informatie over de emissies in die periode nog vrij onzeker was. Daarom is er voor de ontwikkeling in de stikstofdepositie voor gekozen om de kaarten van vóór 2005 te schalen met de emissietotalen die door de emissieregistratie zijn gerapporteerd voor die jaren. De kalibratie van de modelberekeningen naar de beschikbare metingen gebeurt op dezelfde manier zoals beschreven is in de laatste GCN/GDN ronde [20].

Voor de depositie op de grote oppervlaktewateren zijn aparte berekeningen uitgevoerd met het European Monitoring and Evaluation Programme (EMEP) model (versie 4.33)², omdat de berekeningen met het Operationele Prioritaire Stoffen (OPS) model boven zee momenteel minder betrouwbaar zijn. Dit komt doordat in het verleden emissies vanuit zee zijn geïntroduceerd om de berekeningen van de concentraties in de duinen beter te laten aansluiten bij de gemeten concentraties. Deze emissies leiden echter vooral boven zee tot onrealistisch hoge concentraties, waardoor ook de depositiecijfers boven zee uit OPS minder betrouwbaar worden geacht. Er loopt momenteel onderzoek bij het RIVM om het verschil tussen de berekende en gemeten concentraties langs de kust beter te kunnen duiden en de modellering hierop aan te kunnen passen.

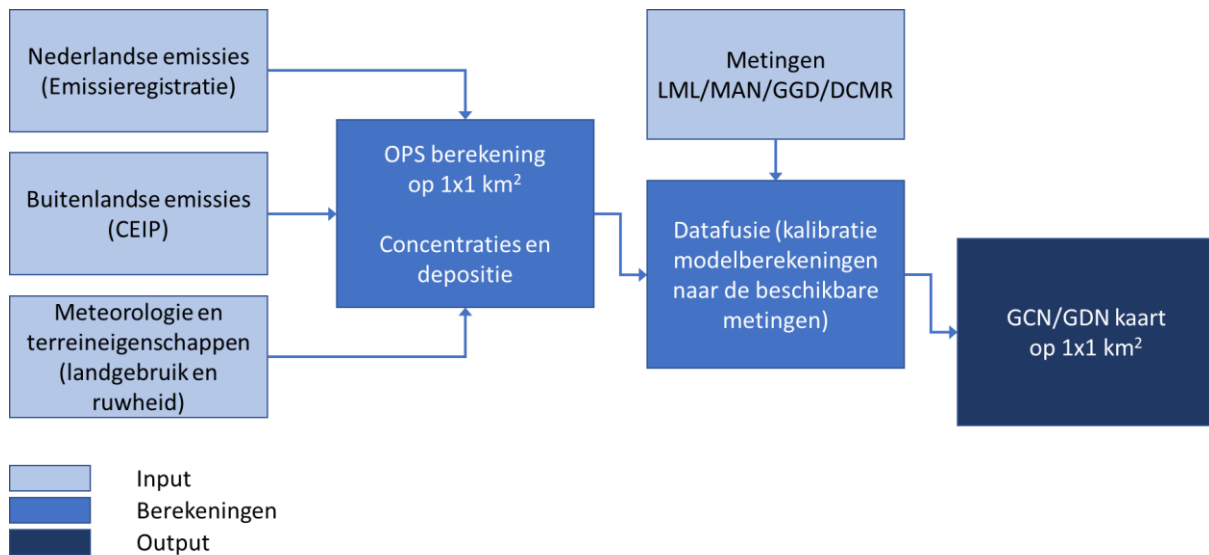
Voor de EMEP berekeningen zijn dezelfde emissies gebruikt als die ook worden gebruikt in de hiervoor beschreven OPS berekeningen. Er vindt bij de berekeningen boven water geen kalibratie aan de metingen plaats, omdat die boven water ontbreken. De berekeningen met EMEP zijn op verschillende ruimtelijke resoluties uitgevoerd. Voor het gehele rekengebied (uit figuur 1) zijn berekeningen op een ½ x ½ graad (ca. 35 x 55 km²) beschikbaar. Voor een groot deel van het rekengebied, behalve het noordelijke deel van de Doggersbank is een berekening op een hogere resolutie van 1/18 x 1/18 graad (ca. 3.8 x 6.2 km²) beschikbaar. Boven Nederland en een deel van de Noordzee zijn berekeningen uitgevoerd op een ruimtelijke resolutie van 1/54 x 1/54 graad, wat overeenkomt op ca. 1.3 x 2.1 km². Deze verschillende resoluties hebben te maken met de resolutie waarop de meteorologie beschikbaar

¹ <https://www.rivm.nl/operationele-prioritaire-stoffen-model/documentatie>

² https://emep.int/publ/reports/2019/EMEP_Status_Report_1_2019.pdf

is. Voor de berekeningen van de depositie op de grote oppervlaktewateren wordt altijd de hoogst beschikbare resolutie gebruikt. Boven land worden de berekeningen van het OPS model gebruikt.

Onderstaande figuur (figuur 2) geeft een globaal overzicht van de procedure die gebruikt wordt om de stikstofdepositie per km² te berekenen.



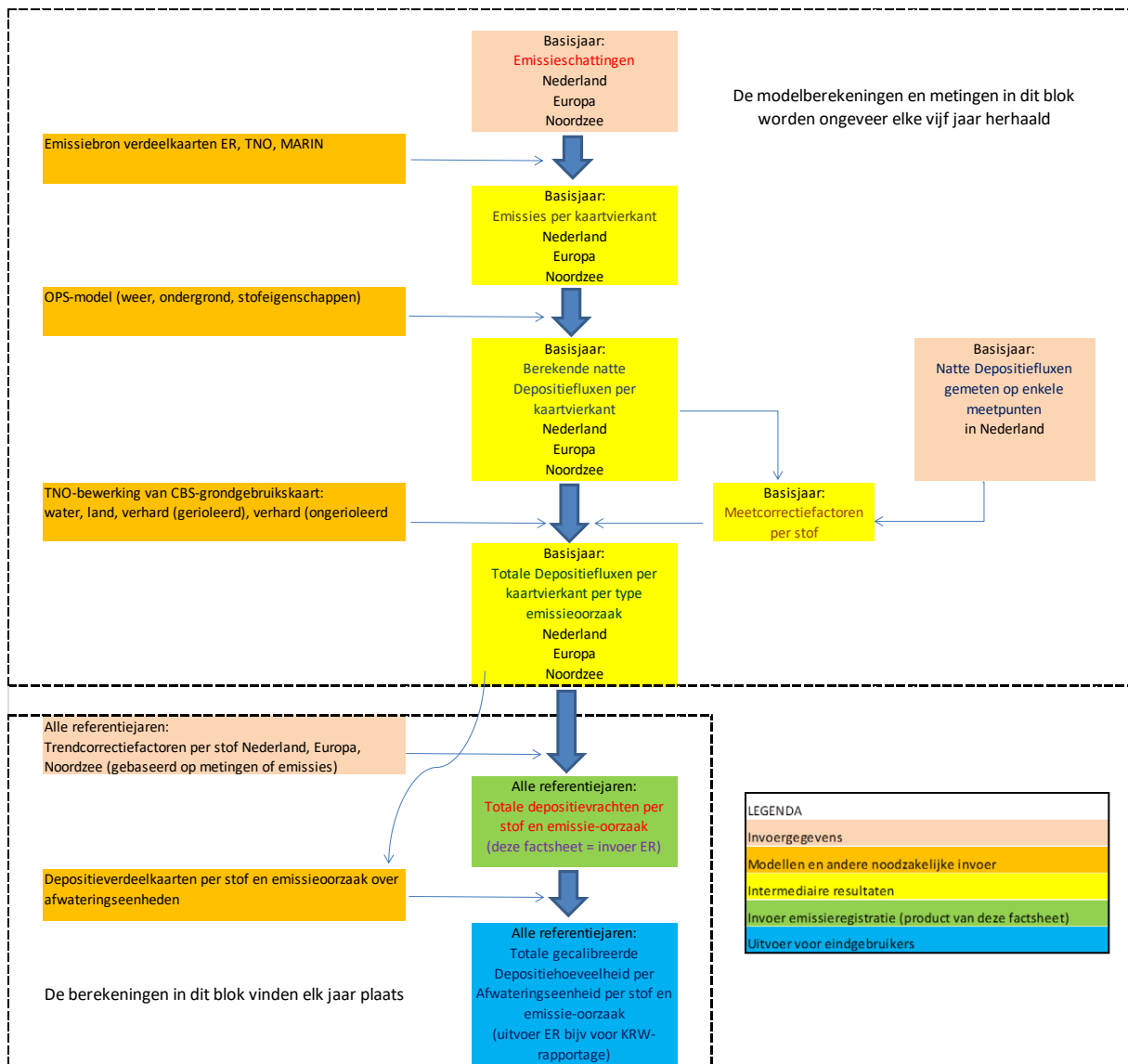
figuur 2: Overzicht van de procedure voor de productie van geregionaliseerde cijfers van atmosferische depositie voor een reeks van jaren voor stikstof

2.2 Overige stoffen

De procedure om geregionaliseerde cijfers voor atmosferische depositie te berekenen voor een groot aantal andere stoffen wordt getoond in figuur 3.

Geregionaliseerde emissiegegevens over 1 basisjaar van Nederland en omliggende Europese landen en de Noordzee worden ingevoerd in het atmosferische (chemie-)transportmodel (OPS-model [1]). Het resultaat van deze berekeningen zijn depositiefluxen voor ieder kaartvierkant in het gebied zoals getoond in figuur 1. Afhankelijk van het onderliggende oppervlak (water, land, verhard (gerioleerd/ongerioleerd) en locatie worden hieraan emissie-oorzaken toegekend tevens wordt in deze stap gecorrigeerd voor systematische afwijkingen door per stof meetcorrectiefactoren toe te passen. De berekende depositie van stoffen op meetlocaties (zie ook: “vergelijking met meetgegevens”) is vergeleken met de op die locatie gemeten depositie. Uit de vastgestelde verhouding tussen meetgegevens en modelberekeningen voor alle meetlocaties wordt een meetcorrectiefactor berekend die van toepassing verklaard wordt op de berekende depositie voor het hele rekengebied (Figuur 1). Impliciet is daarbij de aanname gemaakt dat de verdeling van de bronnen over het gebied goed bekend is maar de emissiefactoren niet.

Deze aanpak functioneert in het algemeen goed in het gebied waar de metingen zijn uitgevoerd. Dit geldt voor eerdere berekeningen die zijn uitgevoerd voor het Nederlandse oppervlaktewater [3a], [3b] en waarschijnlijk ook voor berekeningen van de depositie op kustwateren. Voor berekeningen op de Noordzee en NCP neemt de onzekerheid door deze werkwijze echter toe. Dit komt omdat meetgegevens in dit gebied ontbreken en de verdeling van de bronnen systematisch af zou kunnen wijken van die op het land. De onzekerheid is daardoor aanzienlijk groter dan de onzekerheid in de schattingen voor het land.



figuur 3: Overzicht van de procedure voor de productie van geregionaliseerde cijfers van atmosferische depositie voor een reeks van jaren

Door de verkregen depositiefluxen te vermenigvuldigen met het oppervlak en te sommeren per brongebied van de luchtmissies en per emissie-oorzaak worden de jaarvrachten afkomstig van de emissies per brongebied (Nederland, Europa en Noordzee) voor het basisjaar van de emissies verkregen. Om de jaarvrachten over meerdere jaren te produceren, zoals getoond in deze factsheet, worden de jaarvrachten voor het basisjaar vermenigvuldigd met trendfactoren. Deze trendfactoren kunnen worden afgeleid van jaarreeksen van emissiegegevens voor de verschillende brongebieden of uit meetreeksen (van deposities of concentraties) op enkele locaties in Nederland. Indien er gebruik wordt gemaakt van meetreeksen vervalt uiteraard het onderscheid tussen de verschillende brongebieden en wordt 1 trendfactor per stof per jaar toegepast in de berekening van de jaarvracht in het betreffende jaar. Omdat er voor vele PAK-verbindingen geen emissiegegevens beschikbaar zijn worden de depositievrachten van deze PAK-verbindingen geschat door gebruik te maken van de verhouding van deze PAK-verbindingen ten opzichte van één geslecteerde PAK-verbinding waarvan de jaarvrachten wel berekend zijn. De toegepaste verhouding wordt in dat geval afgeleid uit de beschikbare meetcijfers, zie Verhoudingsfactoren in PAK-depositie.

Tabel A1 in bijlage A geeft een overzicht welke stoffen in deze studie beschouwd zijn en voor welke stoffen en in welke jaren berekeningen zijn uitgevoerd. Leidraad voor de keuze van stoffen is de kwaliteit

van de invoergegevens, en in het bijzonder die van de luchtemissies. De kwaliteit van de emissiegegevens bepaalt voor een groot gedeelte de kwaliteit van de getallen uit deze studie. Lucht-emissies afkomstig uit de Emissieregistratie of uit een recente emissiestudie van Denier van der Gon et al. [3a/b] worden beschouwd als de best beschikbare bestanden. Voor een beperkt aantal stoffen is daarnaast gebruik gemaakt van het emissiestand van Berdowski et al. [4]. Voor een latere studie naar PAK, kobalt en vanadium heeft Visschedijk [9a] gekeken naar recentere emissies. Stoffen waarvan de emissiegegevens niet afkomstig zijn uit een van eerdergenoemde bestanden zijn niet in deze studie behandeld.

Modelberekeningen

Voor het bepalen van de concentratie- en depositieverdeling van de verschillende stoffen over Nederland en het NCP wordt gebruik gemaakt van het door het RIVM ontwikkelde verspreidings- en depositiemodel OPS (Operationeel model Prioritaire Stoffen). Voor de 'overige stoffen' is OPS versie 4.1³ gebruikt.

De uitkomsten van het OPS model zijn vervolgens verwerkt in een GIS om daarmee de belasting (daadwerkelijke netto vracht) op het onverhard oppervlak, het verhard oppervlak, het oppervlaktewater en het NCP te berekenen. Hiervoor is de Landelijk Grondgebruik Nederland (LGN) uit 2018 gebruikt. Door middel van GIS bewerkingen wordt er per rooster cel een verdeling bepaald tussen water, verharde en onverharde oppervlakken en de doorvertaling naar riool (zie ook paragraaf 8+10).

Stofspecifieke gegevens

Tijdens het transport door de atmosfeer kunnen stoffen worden afgebroken door reacties met ozon of hydroxyl-radicalen. Daarnaast treden verliezen op door bijvoorbeeld droge en natte depositie. Met de invloed van deze verliesprocessen wordt in het OPS model rekening gehouden. Het OPS bevat stofspecifieke parameters voor enkele stoffen (zoals zware metalen). Voor andere stoffen zijn de gegevens ingevoerd die zijn afgeleid uit eerdere rapportages [6].

In tabel 1 is een overzicht gegeven van depositiesnelheden naar water, zoals in deze studie gehanteerd ten behoeve van het berekenen van de droge depositie naar oppervlaktewateren. Deze tabel vermeldt ook de stoffeigenschaften die gebruikt zijn voor die stoffen die niet standaard in OPS zitten.

Vergelijking met meetgegevens

De berekende natte depositiefluxen van metalen zijn vergeleken met de overeenkomstige cijfers uit het landelijk meetnet regenwater van het RIVM [7] voor het jaar 2000. De stations zijn de zogenaamde regionale stations van het landelijk meetnet en hebben een landelijke dekking (zie ook: voetnoot 3 van tabel A.1). De modelresultaten zijn via de trendfactoren geschaald naar de situatie van 2000. De filosofie van deze methode is dat voor een aantal stoffen de emissies slecht bekend zijn, en dat een correctie op grond van de verhouding tussen meet- en modelresultaten resulteert in een berekende belasting die recht doet aan de gemeten fluxen. De meetcorrectiefactor is gedefinieerd als de verhouding tussen meetresultaat en modelresultaat. (Als de metingen een hogere waarde geven dan de modelresultaten dan is de meetcorrectiefactor groter dan 1, en worden de fluxen naar de ondergrond na toepassing van de factor verhoogd.)

OPS is in 2012 opnieuw gedraaid voor de PAK's, kobalt en vanadium. De berekende natte depositiefluxen van Kobalt en Vanadium zijn vergeleken met de overeenkomstige cijfers uit het landelijk regenwatermeetnet van het RIVM [7]. Voor de vier gerapporteerde PAK's zijn vergelijkingen gemaakt met cijfers uit de voor deze factsheet door TNO uitgevoerde metingen op vier stations in Nederland [30]. Voor PAK betreft het de periode oktober 2011-oktober 2012. Dit meetnet heeft ook een landelijke dekking (zie ook: voetnoot 3 van tabel A.1). De modelresultaten zijn via de trendfactoren geschaald naar de situatie van 2011.

Opgemerkt wordt dat voor diverse stoffen de meetcorrectiefactor fors is (Tabel 1). Dit kan veroorzaakt worden door mogelijk niet correcte metingen. Zie ook paragraaf 12.

³ <https://www.rivm.nl/operationele-prioritaire-stoffen-model/documentatie>

Tabel 1: Depositiesnelheden boven water (V_{water}) in $cm.s^{-1}$ (centimeter per seconde) voor de verschillende stoffen in deze studie, de verdeling naar gas- en aerosolfase, en de ingevoerde parameters voor de niet-standaard stoffen. De laatste kolom geeft de meetcorrectiefactoren.

stoffen	Vd ¹ water $cm.s^{-1}$	ps ²	stofeigenschappen	Mol (gr)	Meet corr. factor
Arseen	0,10	1	OPS	75	3,53
Cadmium	0,10	1	OPS	112	3,42
Chroom	0,10	2	OPS	52	0,58
Kobalt	0,10	1	Dc=1.300 ^{E-1}	58,9	7,76
Koper	0,10	1	OPS	64	2,57
Kwik	0,15	1	OPS	201	1
Lood	0,10	1	OPS	207	3,82
Nikkel	0,10	1	OPS als Cu	59	1,02
Seleen	0,10	1	OPS	79	1
Vanadium	0,15	1	Dc=1.402 ^{E-1}	50,9	1,06
Zink	0,10	1	OPS	65	5,08
Benzo(a)pyreen	0,45	1	OPS	252	0,24
Benzo(b)fluorantheen	0,45	1	Dc=6,300 ^{E-02}	252	0,17
Benzo(k)fluorantheen	0,45	1	Dc=6,300 ^{E-02}	252	0,22
Indeno(1,2,3-cd)pyreen	0,45	1	Dc=6,019 ^{E-2}	276	0,10
Hexachloorbenzeen	0,10	0	Rc=21.3;Da=0.01;W=0;Dc=5.93 ^{E-02}	284	1
Polychloorbifenyyl	0,30	0	Rc=14.3;Da=0.0;W=1000;Dc=5.53 ^{E-02}	327	5
Hexachloorhexaan	0,19	0	Rc=2.33;Da=0.09;W=453000;Dc=5.86 ^{E-02}	291	1
Benzeen	0,01	0	OPS	78	1
Endosulfan	0,40	0	Rc=166;Da=1,8;W=1.55;Dc=4.957 ^{E-02}	407	1
Polygebromeerde difenylethers	0,01	1	Dc=3.22 ^{E-02}	964	1
Hexachloorbutadieen	0,10	0	W=0;Dc=6.19 ^{E-02}	261	10
Pentachloorfenol	0,45	0	Rc=2.05;Da=0.05;W=130000;Dc=6.126 ^{E-02}	267	0.1
Tetrachlooretheen	0,01	0	Rc=250;Da=0.0439;W=0.8;Dc=7,809 ^{E-2}	164	1
Trichlooretheen	0,01	0	Rc=111,1;Da=0,521;W=1,94;Dc=8,77 ^{E-02}	130	1

1 depositiesnelheden uit [6] en referenties daarin.

2 PS = deeltjes grootte verdeling; 0 is gas; 1: ultrafijn; 2: fijn

Rc oppervlakteweerstand voor droge depositie ($s.cm^{-1}$).

Da chemische afbraak in lucht (% per uur)

W verhouding tussen de concentratie in neerslag en in lucht (dimensieloos). Deze verhouding is van belang voor een onderdeel van de natte depositie (rain-out).

Dc diffusiecoëfficiënt ($cm^2.s^{-1}$) is gelijk aan (molgewicht)^{-0.5}. Deze coëfficiënt is van belang voor de beschrijving van een onderdeel van de natte depositie (wash-out).

3 Emissieverklarende variabele

De emissieverklarende variabele voor depositie op het oppervlaktewater en op de bodem is in principe de emissie naar de lucht. Dat betekent dat de verhouding tussen een bepaalde emissie in een bepaald jaar en de depositie in dat jaar gebruikt kan worden om de depositie in een ander jaar te berekenen op basis van de emissie in dat andere jaar. De schaalfactor voor een stof voor een bepaald jaar is daardoor gelijk aan de emissie van het betreffende jaar gedeeld door de emissie van het referentiejaar waarvoor de depositie is berekend.

In deze factsheet is de depositie berekend ten gevolge van emissies die in drie categorieën zijn ingedeeld, zie ook tabel 2:

- emissies van de zeescheepvaart op het NCP (nikkel, vanadium, kobalt, benzo(a)pyreen, benzo(b)fluorantheen, benzo(b)fluorantheen en indeno (1,2,3-c,d)pyreen)
- emissies van de overige Nederlandse bronnen
- emissies van overige emissiebronnen in Europa

Tabel 2: Emissies naar lucht in (kg/jaar, tenzij anders vermeld), en herkomst van gegevens en peiljaar van de gegevens.

	Nederlandse bronnen		Europese bronnen (zonder NL)		Zeescheepvaart (NOS) ⁸	
	emissie	herkomst	emissie	herkomst	emissie	herkomst
Arseen	976	ER-2003	481 ton	DvdG-2000		
Cadmium	2363	ER-2003	326 ton	DvdG-2000		
Chroom	2990	ER-2003	1960 ton	DvdG-2000		
Kobalt	330	JD-2012	11 ton	JD-2012	3.040	JD-2012
Koper	86 ton	ER-2003 ¹	4990 ton	DvdG-2000		
Kwik	571	ER-2003	315 ton	DvdG-2000		
Lood	41 ton	ER-2003	12995 ton	DvdG-2000		
Nikkel	18,6 ton	ER-2003	3730 ton	DvdG-2000	28,6 ton	Ref.6
Seleen	706	ER-2003	473 ton	DvdG-2000		
Vanadium	31.900	JD-2012	818 ton	JD-2012	608	JD-2012
Zink	97 ton	ER-2003	16881 ton	DvdG-2000		
Benzo(a)pyreen	1060	JD-2012	1554 ton	JD-2012	6.410	JD-2012
Benzo(b)fluorantheen	6080	JD-2012	2113 ton	JD-2012	390	JD-2012
Benzo(k)fluorantheen	15.900	JD-2012	1818 ton	JD-2012	560	JD-2012
Indeno(1,2,3-cd) pyreen	4222	JD-2012	1218 ton	JD-2012	2.170	JD-2012
Hexachloorbenzeen	598	DvdG-2000	18 ton	DvdG-2000		
Polychloorbifenyyl	160	DvdG-2000	133 ton	DvdG-2000		
Hexachloorhexaan	0	DvdG-2000	254 ton	DvdG-2000		
Benzeen	2911 ton	ER-2000	157 kton	LE-2000		
Endosulfan	0	DvdG-2000	703 ton	DvdG-2000		
Polygebromeerde difenylethers	180	DvdG-2000	8,5 ton	DvdG-2000		
Hexachloorbutadieen	0	DvdG-2000	64	DvdG-2000		
Pentachloorfenol	21 ton	ER-2005	657 ton	DvdG-2000		
Tetrachlooretheen	825 ton	ER-2005	196 kton	Berdw-1990		
Trichlooretheen	31 ton	ER-2005	222 kton	Berdw-1990		

1: voor de buitenlandse koper emissies is de variant gevolgd met de hoge emissieschatting voor remvoering

ER: Emissieregistratie, gevolgd door het jaar waarvoor aangevraagd; voor de metalen is gebruik gemaakt van het Emissieregistratie (ER1990-2006, voor de overige stoffen Er1990-2007).

DvdG: Denier van de Gon et al., (2005). Cijfers hebben betrekking op het jaar 2000 [3a/b]

LE-2000: uit het LOTOS-EUROS systeem [10].

Berdw: Berdowski et al., 1997 [4]

JD: Jan Duyzer et al., 2011. Cijfers hebben betrekking op 2005 [9a]

Verhoudingsfactoren in PAK-depositie

Voor de PAK emissies zijn 4 PAK doorgerekend met OPS; benzo(a)pyreen, benzo(b)fluorantheen, benzo(k)fluorantheen en indeno(1,2,3-cd)pyreen. Voor de PAK waarvoor geen recente emissieschattingen beschikbaar waren zijn de depositie-hoeveelheden geschaald met de uitkomsten van één andere PAK zijnde benzo(a)pyreen. De verhoudingsfactoren zijn afgeleid uit de metingen die door TNO werden uitgevoerd in de periode 2010/2011 [9a].

Tabel 6: Verhoudingsfactoren in PAK-depositie t.o.v. Benzo(a)Pyreen.

Stofnaam	Verhoudingsfactor
Benzo(a)Pyreen	1.00
Naftaleen	5.20
Acenaftyleen	1.58
Acenaftteen	1.74
Fluoreen	2.10
Fenanthreen	14.76
Anthraceen	0.76
Fluorantheen	9.38
Pyreen	5.49
Benzo(a)Anthraceen	0.88
Chryseen	1.88
Dibenzo(a,h)Anthraceen	0.29
Benzo(ghi)Peryleen	0.98

Het gevolg van de toepassing van deze verhoudingsfactoren is dat er van veel meer PAK-verbindingen schattingen beschikbaar zijn gekomen voor de hoeveelheden van atmosferische depositie. Een kwetsbaar punt hierbij is dat de meting van de hoeveelheid atmosferische depositie van de stof benz(a)pyreen bepalend is voor de uitkomsten van alle PAK-verbindingen in tabel 6.

Trendfactoren

De door het OPS model berekende depositiefluxen zijn geschaald met trendfactoren om ervoor te zorgen dat de fluxen gelijk zijn aan die van het peiljaar 2000 zijn voor de meeste stoffen. Voor PAK geldt peiljaar 2011. Deze trendfactoren zijn ook gebruikt om de vrachten (belasting) voor jaren anders dan 2000 te berekenen. De trendfactoren voor de jaren 1990-2020 zijn weergegeven in tabel 3 (Nederland), tabel 4 (Europa) en tabel 5 (scheepvaart). Voor zware metalen en PAK worden metingen gebruikt om de trend af te leiden. Voor de overige stoffen zijn de trendfactoren gebaseerd op trends en/of prognoses in emissies (zie onderstaande alinea's).

Trendfactoren zware metalen (nr 1 in tabel 3 t/m 5)

De trendfactoren voor zware metalen in de periode 1990-2020 zijn gebaseerd op in regenwater gemeten concentraties afkomstig uit het landelijk regenwatermeetnet van het RIVM [7]. Voor seleen is gebruik gemaakt van emissie-informatie uit het EMEP-Webdab [11].

Vanaf 2012 wordt het regenwater nog maar op 2 verschillende locaties afgeleid ipv 5 tot 12 locaties in eerdere jaren. De jaarlijkse trend wordt vanaf 2011 niet meer afgeleid op basis van een jaarlijks gemiddelde maar op basis van een 3-jarig gemiddelde.

Trendfactoren PAK (nr 2 in tabel 3 t/m 5)

Voor het jaar 2011 zijn nieuwe OPS berekeningen voor PAK uitgevoerd. De trend voor PAK bestaat uit twee perioden. De periode voor de nieuwe OPS berekeningen in 2011 en de periode daarna. In de periode voor 2011 wordt uitgegaan van een studie van Denier van der Gon (3b) waarin trendfactoren zijn afgeleid voor 1990-2020. Voor de periode na 2011 wordt gebruik gemaakt van metingen bij locatie de Zilk in fijn stof (PM10). Op locatie de Zilk worden 5 PAK gemeten. Deze PAK kunnen worden opgesplitst in zware PAK (> 255 g/mol) middelzware PAK (230 – 255 g/mol) en lichte PAK (<230 g/mol). De indeling wordt in tabel 3 weergegeven. Voor de periode vanaf 2011 wordt voor elk jaar een 3-jarig gemiddelde trend bepaald voor de 3 verschillende gewichtsklassen voor PAK.

Trendfactoren stikstof (nr 3 in tabel 3 t/m 5)

Voor de stikstofdepositie zijn alleen trendfactoren bepaald vóór 2005. Deze trendfactoren zijn niet afgeleid op basis van emissies uit de Emissieregistratie, maar op basis van de historische depositiereeks boven land (CLO-indicator 189 Stikstofdepositie; <http://www.clo.nl/nl0189>). Voor de buitenlandse emissies wordt dezelfde trend aangehouden. Na 2005 wordt jaarlijks een depositieberekening uitgevoerd door RIVM.

Trendfactoren via prognoses (nr 4 in tabel 3 t/m 5)

Voor de stoffen endosulfan, hexachloorbutadieën, hexachloorbenzeen, hexachloorcyclohexaan, PCB's en pentachloorfenol wordt uitgegaan van de prognoses 1990-2020 uit het rapport van Denier van der Gon [3b]. Middels interpolatie wordt de trend afgeleid voor de tussenliggende jaren.

Voor de stoffen NMVOS (niet-methaan vluchtige organische stoffen) benzeen trichlooretheen en tetrachlooretheen zijn de trendfactoren van Nederland en Europa voor de jaren vanaf 1990 afkomstig van EMEP⁴ [12].

Tabel 3: Trendfactoren ten opzichte van het referentiejaar voor Nederland.

stof	basisjaar	1990	1995	2000	2005	2010	2015	2019	2020	nr
Stikstof	2005	1.38	1.20	1.12	1	-	-	-	-	3
Arseen	2000	3.35	2.26	1	0.91	0.74	0.68	0.69	0.66	1
Cadmium	2000	1.34	1.41	1	0.61	0.23	0.24	0.25	0.24	1
Chroom	2000	1.39	1.00	1	0.93	0.74	0.68	0.70	0.66	1
Kobalt	2000	1.12	1.13	1	0.88	0.81	0.74	0.74	0.71	1
Koper	2000	1.03	0.73	1	0.68	0.33	0.37	0.45	0.37	1
Kwik	2000	3.07	1.32	1	0.88	0.66	0.59	0.53	0.53	4
Lood	2000	1.26	0.95	1	0.58	0.16	0.15	0.15	0.12	1
Nikkel	2000	1.90	1.22	1	0.97	0.43	0.40	0.48	0.40	1

⁴ EMEP: Co-operative programme for monitoring and evaluation of the long-range transmission of air pollutants in Europe. Gothenburg Protocol: Protocol dat de nationale emissieplafonds beschrijft voor de Europese landen voor de stoffen NO_x, SO₂, NH₃ en NMVOS

stof	basisjaar	1990	1995	2000	2005	2010	2015	2019	2020	nr
Seleen	2000	0.85	0.73	1	0.82	0.63	0.64	0.65	0.65	1
Vanadium	2000	1.45	1.05	1	0.88	0.24	0.17	0.17	0.15	1
Zink	2000	1.45	1.14	1	0.72	0.33	0.34	0.47	0.40	1
Acenaftheen*	2011	3.50	2.16	1.03	1.09	1.01	0.62	0.65	0.48	2
Acenafthyleen*	2011	3.50	2.16	1.03	1.09	1.01	0.62	0.65	0.48	2
Anthraceen*	2011	3.50	2.16	1.03	1.09	1.01	0.62	0.65	0.48	2
Benzo(a)Anthraceen*	2011	3.50	2.16	1.03	1.09	1.01	0.62	0.65	0.48	2
Benzo(a)Pyreen**	2011	3.50	2.16	1.03	1.09	1.01	0.63	0.61	0.57	2
Benzo(b)Fluorantheen**	2011	3.02	1.87	0.89	0.88	1.04	0.63	0.61	0.57	2
Benzo(ghi)Peryleen***	2011	3.56	2.20	1.05	1.03	1.00	0.83	0.91	0.74	2
Benzo(k)Fluorantheen**	2011	3.29	2.03	0.97	0.95	1.02	0.63	0.61	0.57	2
Chryseen*	2011	3.50	2.16	1.03	1.09	1.01	0.62	0.65	0.48	2
Dibenzo(ah)anthraceen***	2011	3.50	2.16	1.03	1.09	1.01	0.83	0.91	0.74	2
Fenanthreen*	2011	3.50	2.16	1.03	1.09	1.01	0.62	0.65	0.48	2
Fluorantheen*	2011	3.50	2.16	1.03	1.09	1.01	0.62	0.65	0.48	2
Fluoreen*	2011	3.50	2.16	1.03	1.09	1.01	0.62	0.65	0.48	2
Indeno (1,2,3-c,d)Pyreen***	2011	2.91	1.80	0.86	0.89	1.06	0.83	0.91	0.74	2
Pyreen*	2011	3.50	2.16	1.03	1.09	1.01	0.62	0.65	0.48	2
Naftaleen*	2011	3.50	2.16	1.03	1.09	1.01	0.62	0.65	0.48	2
Benzeen	2000	1.84	1.36	1	0.85	0.72	0.59	0.51	0.51	4
PCB's	2000	0.92	0.96	1	0.60	0.20	0.13	0.07	0.06	4
Endosulfan	2000	1	1	1	1	1	1	1	1	4
Gebromeerde Difenylethers	2000	1	1	1	1	1	1	1	1	4
Hexachloorbenzeen	2000	0.44	0.72	1	0.72	0.44	0.45	0.46	0.46	4
Hexachloorbutadieen	2000	1	1	1	1	1	1	1	1	4
Hexachloorcyclohexaan	2000	5.20	3.10	1	1	1	1	1	1	4
Pentachloorfenol	2000	1	1	1	0.86	0.73	0.62	0.54	0.54	4
Tetrachlooretheen	2000	2.20	2.62	1	0.95	0.95	0.95	0.95	0.95	4
Trichlooretheen	2000	8.57	9.02	1	0.30	0.30	0.30	0.30	0.30	4

*Lichte PAK (molmassa < 230 g/mol)

** Middelzware PAK (molmassa 230 <=> 255 g/mol)

*** Zware PAK (molmassa >255 g/mol)

Tabel 4: Trendfactoren ten opzichte van het referentiejaar voor Europa.

stof	basisjaar	1990	1995	2000	2005	2010	2015	2019	2020	nr
Stikstof	2005	1.38	1.20	1.12	1	-	-	-	-	1
Arseen	2000	3.35	2.26	1	0.91	0.74	0.68	0.69	0.66	1
Cadmium	2000	1.34	1.41	1	0.61	0.23	0.24	0.25	0.24	1
Chroom	2000	1.39	1.00	1	0.93	0.74	0.68	0.70	0.66	1
Kobalt	2000	1.12	1.13	1	0.88	0.81	0.74	0.74	0.71	1
Koper	2000	1.03	0.73	1	0.68	0.33	0.37	0.45	0.37	1
Kwik	2000	1.88	1.31	1	0.90	0.67	0.52	0.38	0.38	4
Lood	2000	1.26	0.95	1	0.58	0.16	0.15	0.15	0.12	1
Nikkel	2000	1.90	1.22	1	0.97	0.43	0.40	0.48	0.40	1
Seleen	2000	2.00	1.50	1	0.82	0.63	0.64	0.65	0.65	1
Vanadium	2000	1.45	1.05	1	0.88	0.24	0.17	0.17	0.15	1
Zink	2000	1.45	1.14	1	0.72	0.33	0.34	0.47	0.40	1
Acenaftheen	2011	3.56	2.20	1.05	1.03	1.00	0.62	0.65	0.48	2
Acenafthyleen	2011	3.56	2.20	1.05	1.03	1.00	0.62	0.65	0.48	2
Anthraceen	2011	3.56	2.20	1.05	1.03	1.00	0.62	0.65	0.48	2
Benzo(a)Anthraceen	2011	3.56	2.20	1.05	1.03	1.00	0.62	0.65	0.48	2
Benzo(a)Pyreen	2011	3.56	2.20	1.05	1.03	1.00	0.63	0.61	0.57	2
Benzo(b)Fluorantheen	2011	3.53	2.18	1.04	1.02	1.01	0.63	0.61	0.57	2
Benzo(ghi)Peryleen	2011	3.56	2.20	1.05	1.03	1.00	0.83	0.91	0.74	2
Benzo(k)Fluorantheen	2011	3.56	2.20	1.05	1.02	1.00	0.63	0.61	0.57	2
Chryseen	2011	3.56	2.20	1.05	1.03	1.00	0.62	0.65	0.48	2
Dibenzo(ah)anthraceen	2011	3.56	2.20	1.05	1.03	1.00	0.83	0.91	0.74	2
Fenanthreen	2011	3.56	2.20	1.05	1.03	1.00	0.62	0.65	0.48	2
Fluorantheen	2011	3.56	2.20	1.05	1.03	1.00	0.62	0.65	0.48	2
Fluoreen	2011	3.56	2.20	1.05	1.03	1.00	0.62	0.65	0.48	2
Indeno (1,2,3-c,d)Pyreen	2011	3.66	2.26	1.08	1.04	1.01	0.83	0.91	0.74	2

stof	basisjaar	1990	1995	2000	2005	2010	2015	2019	2020	nr
Pyreen	2011	3.56	2.20	1.05	1.03	1.00	0.62	0.65	0.48	2
Naftaleen	2011	3.56	2.20	1.05	1.03	1.00	0.62	0.65	0.48	2
Benzeen	2000	1.48	1.18	1	0.93	0.88	0.68	0.52	0.48	4
PCB's	2000	0.92	0.96	1	0.60	0.20	0.13	0.07	0.06	4
Endosulfan	2000	1	1	1	1	1	1	1	1	4
Gebromeerde Difenylethers	2000	1	1	1	1	1	1	1	1	4
Hexachloorbenzeen	2000	0.44	0.72	1	0.72	0.44	0.45	0.46	0.46	4
Hexachloorbutadieen	2000	1	1	1	1	1	1	1	1	4
Hexachloorcyclohexaan	2000	5.20	3.10	1	1	1	1	1	1	4
Pentachloorfenol	2000	1	1	1	1	1	1	1	1	4
Tetrachlooretheen	2000	2.20	2.62	1	0.95	0.95	0.95	0.95	0.95	4
Trichlooretheen	2000	8.57	9.02	1	0.30	0.30	0.30	0.30	0.30	4

Trendfactoren zeescheepvaart

De toekomstige emissies van zeescheepvaart zijn niet goed bekend. Verwacht wordt dat het volume van deze sector nog verder zal groeien. Er zijn ook maatregelen in voorbereiding die de uitstoot van deze sector moet verminderen.

De trendfactoren van de metalen kobalt, nikkel en vanadium zijn afgeleid van de hoeveelheden zwaveloxide die op het NCP door de scheepvaart is geëmitteerd. De trendfactoren van de PAK-verbindingen zijn afgeleid van de hoeveelheid koolwaterstoffen die op het NCP door de scheepvaart is geëmitteerd. Deze hoeveelheden zijn in januari 2014 van de besloten website van de emissieregistratie gehaald.

Tabel 5: Trendfactoren ten opzichte van het referentiejaar voor scheepvaart.

stof	basisjaar	1990	1995	2000	2005	2010	2015	2019	2020	nr
Kobalt	2000	0.80	0.82	1	1.12	0.87	0.86	0.87	0.87	1
Nikkel	2000	0.80	0.82	1	0.97	0.54	0.19	0.05	0.05	1
Vanadium	2000	0.80	0.82	1	0.97	0.54	0.19	0.05	0.05	1
Acenaftheen	2011	1.04	1.07	1.30	1.41	1	1.07	1.07	1.07	2
Acenafthyleen	2011	1.04	1.07	1.30	1.41	1	1.07	1.07	1.07	2
Anthraceen	2011	1.04	1.07	1.30	1.41	1	1.07	1.07	1.07	2
Benzo(a)Anthraceen	2011	1.04	1.07	1.30	1.41	1	1.07	1.07	1.07	2
Benzo(a)Pyreen	2011	1.04	1.07	1.30	1.41	1	1.07	1.07	1.07	2
Benzo(b)Fluorantheen	2011	1.04	1.07	1.30	1.41	1	1.07	1.07	1.07	2
Benzo(ghi)Peryleen	2011	1.04	1.07	1.30	1.41	1	1.07	1.07	1.07	2
Benzo(k)Fluorantheen	2011	1.04	1.07	1.30	1.41	1	1.07	1.07	1.07	2
Chryseen	2011	1.04	1.07	1.30	1.41	1	1.07	1.07	1.07	2
Dibenzo(ah)anthraceen	2011	1.04	1.07	1.30	1.41	1	1.07	1.07	1.07	2
Fenanthreen	2011	1.04	1.07	1.30	1.41	1	1.07	1.07	1.07	2
Fluorantheen	2011	1.04	1.07	1.30	1.41	1	1.07	1.07	1.07	2
Fluoreen	2011	1.04	1.07	1.30	1.41	1	1.07	1.07	1.07	2
Indeno (1,2,3-c,d)Pyreen	2011	1.04	1.07	1.30	1.41	1	1.07	1.07	1.07	2
Pyreen	2011	1.04	1.07	1.30	1.41	1	1.07	1.07	1.07	2
Naftaleen	2011	1.04	1.07	1.30	1.41	1	1.07	1.07	1.07	2

4 Emissiefactoren

Emissiefactoren beschrijven de emissies per eenheid van een bepaalde parameter. Bijvoorbeeld: de emissie uit een auto per gereden kilometer. Het begrip emissiefactor is niet zinvol voor de beschrijving van atmosferische depositie. Zie de paragraaf over de Emissieverklarende variabele.

5 Maatregelen en effecten

Maatregelen ten aanzien van atmosferische depositie zijn het meest effectief door emissiebeperking op (inter)nationale schaal door te voeren. Voor NO_x, NH₃, NMVOC, zware metalen en persistente organische stoffen bestaat er een protocol onder de Convention on the Longe Range Transboundary

Air Pollution (CLRTAP) dat ressorteert onder de UN-ECE⁵. In het kader van dit protocol heeft een groot aantal landen afspraken gemaakt over rapportageverplichtingen en emissiereductieverplichtingen. Mede hierdoor dalen de emissies van deze stoffen al een aantal jaren en is de verwachting dat deze dalingen de komende jaren nog zullen voortduren. De OPS-berekeningen zijn (zoveel mogelijk) gebaseerd op werkelijke emissies naar lucht. De effecten van maatregelen zijn daarom via de trendfactoren meegenomen in de uiteindelijke berekeningen voor de belasting door atmosferische depositie.

6 Tijdreeks emissiefactoren

De schattingsmethode voor atmosferische depositie wordt niet uitgevoerd aan de hand van emissiefactoren. zie paragraaf 4.

7 Belasting op Nederland en Nederlands Continentaal Plat

Met het OPS of EMEP model is de belasting voor alle compartimenten afzonderlijk berekend. In de tabellen 6 t/m 9 zijn de totale belasting (voor alle afwateringseenheden tezamen) gegeven voor de drie afzonderlijke brongroepen (scheepvaart op NCP, Nederland en Europa). De Nederlandse bronnen zijn exclusief de NCP bronnen. De Europese bronnen zijn exclusief die van Nederland en NCP. Het NCP is het water buitengaats tot vlak voor de kust. De 1-mijlszone valt in deze studie niet onder het NCP, maar wordt bij het oppervlaktewater gerekend, evenals het IJsselmeer, de Waddenzee en de Zeeuwse wateren.

Het referentiejaar voor de emissies in de berekeningen is 2000, behalve voor PAK's en stikstof. Voor PAK's is het referentiejaar 2011, stikstof wordt jaarlijks door RIVM berekend.

In paragraaf 8 wordt toegelicht hoe de verdeling over de verschillende compartimenten tot stand komt.

Een overzicht van de totale belasting door atmosferische depositie door de drie brongroepen gezamenlijk voor de jaren 1990-2020 is gegeven in:

- Tabel 6: depositie op oppervlaktewater tot en met de 1-miles kustzone;
- Tabel 7: depositie op verhard oppervlak dat afstroomt naar riool;
- Tabel 8: depositie op NCP;
- Tabel 9: depositie op onverhard oppervlak;

⁵ UN-ECE staat voor: United Nations Economic Commission for Europe. In dit kader worden emissies verzameld onder het zogenaamde EMEP programma. (EMEP: Co-operative programme for monitoring and evaluation of the long-range transmission of air pollutants in Europe).

Tabel 6: Belasting atmosferische depositie (kg/jaar, tenzij anders vermeld) van het oppervlaktewater t/m 1-miles kustzone

stof	1990	1995	2000	2005	2010	2015	2019	2020
Stikstof (ton/jaar)	27663	24129	22412	20080	16097	16040	16698	14662
Arseen	3712	2506	1108	1014	821	754	765	727
Cadmium	1038	1087	774	475	177	188	192	183
Chroom	1202	868	866	804	645	590	603	569
Kobalt	376	379	358	333	296	275	276	266
Koper	16785	11894	16322	11118	5366	6013	7288	6036
Kwik	423	276	210	189	140	111	83	83
Lood	29090	21969	23029	13443	3800	3405	3376	2800
Nikkel	5764	3859	3336	3236	1497	1222	1387	1144
Seleen	484	366	259	211	163	166	168	168
Vanadium	8653	6897	7172	6567	2502	1280	900	829
Zink	97379	76272	67158	48315	22468	22973	31450	26695
Acenaftheen	378	233	111	111	107	66	70	52
Acenafthyleen	344	212	101	101	98	60	63	47
Anthraceen	166	102	49	49	47	29	31	23
Benzo(a)Anthraceen	191	118	56	56	54	34	35	26
Benzo(a)Pyreen	217	134	64	64	62	39	38	35
Benzo(b)Fluorantheen	449	278	133	131	135	85	82	76
Benzo(ghi)Peryleen	213	132	63	62	60	50	54	44
Benzo(k)Fluorantheen	221	136	65	64	66	42	40	37
Chryseen	409	253	121	120	116	72	75	56
Dibenzo(ah)anthraceen	64	40	19	19	18	15	16	13
Fenanthreen	3213	1985	947	940	911	565	592	440
Fluorantheen	2038	1260	601	596	578	359	375	279
Fluoreen	457	282	135	134	130	80	84	63
Indeno (1,2,3-c,d)Pyreen	156	97	46	46	47	38	41	34
Pyreen	1196	739	353	350	339	210	220	164
Naftaleen	1131	699	333	331	321	199	208	155
Benzeen	17058	12978	10082	8871	7895	6324	5163	4998
PCB's	9.0	9.4	9.8	5.9	2.0	1.3	0.73	0.59
Endosulfan	109	109	109	109	109	109	109	109
Gebromeerde Difenylethers	6.9	6.9	6.9	6.9	6.9	6.9	6.9	6.9
Hexachloorbenzeen	0.13	0.21	0.29	0.21	0.13	0.13	0.13	0.13
Hexachloorbutadieen	0.37	0.37	0.37	0.37	0.37	0.37	0.37	0.37
Hexachloorcyclohexaan	115	69	22	22	22	22	22	22
Pentachloorfenol	133	133	133	123	112	104	98	98
Tetrachlooretheen	5635	6710	2556	2418	2418	2418	2418	2418
Trichlooretheen	3075	3237	359	109	109	109	109	109

Tabel 7: Belasting atmosferische depositie (kg/jaar, tenzij anders vermeld) op het riool

stof	1990	1995	2000	2005	2010	2015	2019	2020
Stikstof (ton/jaar)	5627	4908	4559	4085	3275	3263	3397	2983
Arseen	1446	976	432	395	320	294	298	283
Cadmium	427	447	318	195	73	77	79	75
Chroom	468	338	337	313	251	230	235	221
Kobalt	169	170	156	142	128	119	119	114
Koper	8855	6274	8610	5865	2831	3172	3844	3184
Kwik	179	115	88	79	59	46	35	35
Lood	13278	10028	10512	6136	1734	1554	1541	1278
Nikkel	2593	1696	1426	1383	627	546	643	529
Seleen	196	149	109	89	69	70	71	71
Vanadium	3401	2588	2594	2338	778	452	375	342
Zink	45802	35875	31588	22725	10568	10805	14793	12556
Acenaftheen	65	40	19	19	18	11	12	8.9
Acenafthyleen	59	37	17	17	17	10	11	8.1
Anthraceen	29	18	8.4	8.4	8.1	5.0	5.3	3.9
Benzo(a)Anthraceen	33	20	9.7	9.7	9.4	5.8	6.1	4.5
Benzo(a)Pyreen	38	23	11	11	11	6.7	6.5	6.0
Benzo(b)Fluorantheen	44	27	13	13	13	8.2	8.0	7.4
Benzo(ghi)Peryleen	37	23	11	11	10	8.6	9.4	7.7
Benzo(k)Fluorantheen	122	76	36	35	36	23	22	20
Chryseen	70	44	21	21	20	12	13	9.6
Dibenzo(ah)anthraceen	11	6.8	3.3	3.2	3.1	2.6	2.8	2.3
Fenanthreen	554	342	163	162	157	97	102	76
Fluorantheen	352	217	104	103	100	62	65	48
Fluoreen	79	49	23	23	22	14	14	11
Indeno (1,2,3-c,d)Pyreen	35	21	10	10	10	8.4	9.2	7.5
pyreen	206	127	61	60	58	36	38	28
Naftaleen	195	120	57	57	55	34	36	27
Benzeen	10739	8079	6129	5308	4634	3757	3130	3071
PCB's	18	18	19	12	3.8	2.5	1.4	1.2
Endosulfan	58	58	58	58	58	58	58	58
Gebromeerde Difenylethers	4.6	4.6	4.6	4.6	4.6	4.6	4.6	4.6
Hexachloorbenzeen	0.54	0.89	1.2	0.89	0.54	0.55	0.56	0.57
Hexachloorbutadieen	0.15	0.15	0.15	0.15	0.15	0.15	0.15	0.15
Hexachloorcyclohexaan	102	61	20	20	20	20	20	20
Pentachloorfenol	104	104	104	93	81	72	64	64
Tetrachlooretheen	65137	77559	29549	27953	27953	27953	27953	27953
Trichlooretheen	37806	39801	4410	1335	1335	1336	1335	1336

Tabel 8: Belasting (kg/jaar, tenzij anders vermeld) van het NCP

stof	1990	1995	2000	2005	2010	2015	2019	2020
Stikstof (ton/jaar)	78195	68204	63353	56761	40610	37783	45142	45316
Arseen	20253	13671	6046	5530	4479	4112	4174	3963
Cadmium	3358	3516	2502	1536	574	608	622	591
Chroom	5388	3893	3884	3606	2891	2647	2703	2550
Kobalt	1853	1871	1829	1755	1523	1430	1436	1395
Koper	65706	46558	63892	43522	21004	23537	28528	23627
Kwik	1733	1183	900	812	602	469	344	344
Lood	101670	76782	80489	46985	13280	11900	11800	9787
Nikkel	23423	16314	14751	14308	6821	5019	5323	4410
Seleen	2712	2038	1378	1123	868	882	893	895
Vanadium	40747	34580	37632	35091	15319	6893	3879	3618
Zink	372082	291434	256608	184610	85849	87779	120170	102002
Acenaftheen	2447	1513	725	713	695	433	453	338
Acenafthyleen	2227	1377	660	649	632	394	412	307
Anthraceen	1074	664	318	313	305	190	199	148
Benzo(a)Anthraceen	1240	767	367	361	352	219	229	171
Benzo(a)Pyreen	1408	871	417	410	400	253	246	228
Benzo(b)Fluorantheen	2178	1351	654	646	640	407	396	368
Benzo(ghi)Peryleen	1378	853	408	401	391	325	353	289
Benzo(k)Fluorantheen	559	346	167	163	163	104	101	93
Chryseen	2649	1638	785	772	752	468	490	366
Dibenzo(ah)anthraceen	415	257	123	121	118	98	106	87
Fenantheen	20809	12872	6165	6062	5910	3680	3851	2871
Fluorantheen	13204	8167	3912	3846	3750	2335	2443	1822
Fluoreen	2960	1831	877	862	841	523	548	408
Indeno (1,2,3-c,d)Pyreen	789	489	235	230	225	185	201	165
Pyreen	7747	4792	2295	2257	2200	1370	1434	1069
Naftaleen	7323	4529	2169	2133	2080	1295	1355	1010
Benzeen	44849	35202	29109	26624	24769	19304	15012	14045
PCB's	47	49	51	30	10	6.6	3.7	3.0
Endosulfan	376	376	376	376	376	376	376	376
Gebromeerde Difenylethers	27	27	27	27	27	27	27	27
Hexachloorbenzeen	0.73	1.2	1.6	1.2	0.73	0.74	0.75	0.76
Hexachloorbutadieen	2.5	2.5	2.5	2.5	2.5	2.5	2.5	2.5
Hexachloorcyclohexaan	824	491	159	159	159	159	159	159
Pentachloorfenol	608	608	608	601	595	589	585	585
Tetrachlooretheen	13998	16667	6350	6007	6007	6007	6007	6007
Trichlooretheen	8864	9331	1034	313	313	313	313	313

Tabel 9: Belasting atmosferische depositie (kg/jaar, tenzij anders vermeld) van het Nederlandse onverharde oppervlak..

stof	1990	1995	2000	2005	2010	2015	2019	2020
Stikstof (ton/jaar)	108364	94518	87795	78660	63057	62834	65411	57435
Arseen	18122	12232	5410	4948	4008	3680	3735	3546
Cadmium	5151	5394	3839	2357	880	933	954	907
Chroom	5677	4101	4092	3799	3045	2788	2848	2687
Kobalt	1740	1750	1619	1477	1331	1231	1232	1185
Koper	95436	67625	92801	63215	30508	34188	41436	34318
Kwik	2180	1452	1105	996	738	579	429	429
Lood	160483	121198	127049	74164	20962	18784	18625	15449
Nikkel	26338	17303	14629	14187	6459	5555	6498	5348
Seleen	2386	1800	1257	1024	792	804	814	817
Vanadium	31857	24573	24902	22556	7838	4373	3453	3161
Zink	545601	427343	376277	270702	125884	128714	176210	149570
Acenaftheen	837	517	246	245	237	147	154	114
Acenafthyleen	761	470	224	223	216	134	140	104
Anthraceen	368	227	108	108	104	65	68	50
Benzo(a)Anthraceen	424	262	125	124	120	74	78	58
Benzo(a)Pyreen	482	298	142	141	137	86	84	78
Benzo(b)Fluorantheen	564	348	166	164	167	105	102	94
Benzo(ghi)Peryleen	473	292	139	136	134	111	120	98
Benzo(k)Fluorantheen	1132	700	334	326	329	208	202	187
Chryseen	906	560	267	265	257	159	167	124
Dibenzo(ah)anthraceen	142	88	42	41	40	33	36	30
Fenanthreen	7115	4396	2096	2080	2017	1250	1309	973
Fluorantheen	4520	2792	1331	1321	1281	794	831	618
Fluoreen	1012	625	298	296	287	178	186	138
Indeno (1,2,3-c,d)Pyreen	424	262	125	123	127	103	112	91
Pyreen	2649	1637	780	774	751	465	487	362
Naftaleen	2506	1548	738	733	711	440	461	343
Benzeen	97711	73963	56848	49672	43834	35301	29076	28315
PCB's	188	196	204	122	41	27	15	12
Endosulfan	665	665	665	665	665	665	665	665
Gebromeerde Difenylethers	53	53	53	53	53	53	53	53
Hexachloorbenzeen	5.8	9.5	13	9.5	5.8	5.9	6.0	6.1
Hexachloorbutadieen	2.0	2.0	2.0	2.0	2.0	2.0	2.0	2.0
Hexachloorcyclohexaan	1084	646	208	208	208	208	208	208
Pentachloorfenol	716	716	716	649	582	529	487	487
Tetrachlooretheen	610105	726452	276766	261818	261818	261821	261818	261821
Trichlooretheen	439465	462656	51267	15516	15516	15534	15516	15534

8 Verdeling compartimenten

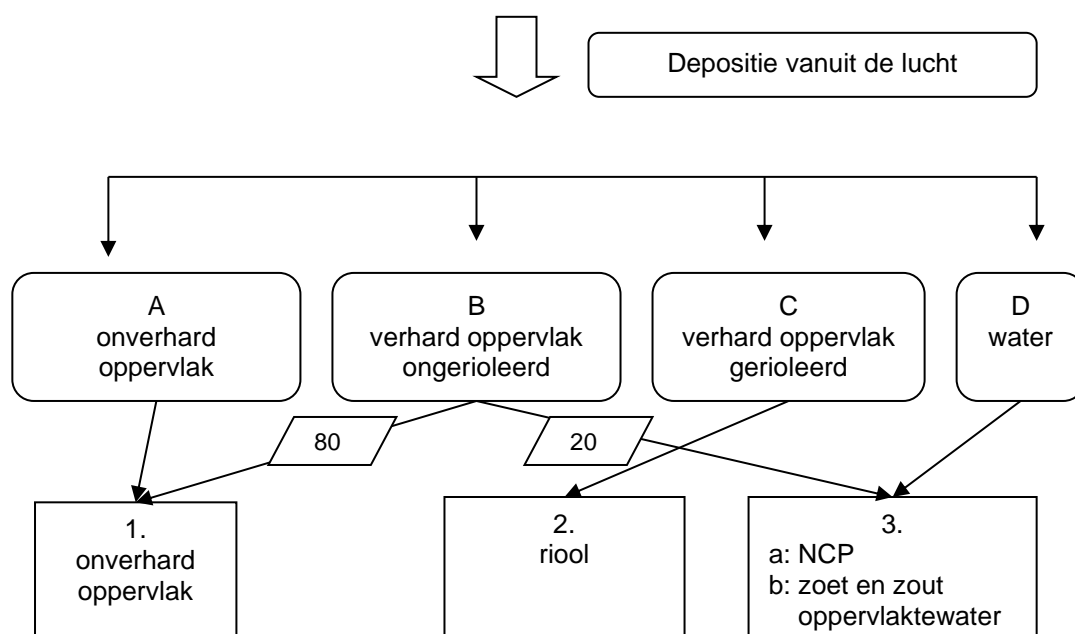
Figuur 3 laat zien dat de atmosferische depositie (emissies naar water/bodem etc.) plaatsvindt naar:

- A onverhard oppervlak
- B verhard oppervlak. ongerioleerd
- C verhard oppervlak. gerioleerd
- D water (NCP + zoet oppervlaktewater + zout t/m 1 miles zone)

Van de belasting op de ongerioleerde verharde oppervlakken wordt aangenomen dat 20% naar water gaat en 80% naar onverhard oppervlak. Door deze toedeling wordt de atmosferische depositie uiteindelijk toegerekend naar:

- 1) onverhard oppervlak (zie tabel 9)
- 2) riool (zie tabel 7)
- 3) water
 - a NCP (zie tabel 8)
 - b zoet oppervlaktewater tot en met de 1 miles zone (zie tabel 6)

Vanwege het basische karakter van de verharde oppervlakken wordt de NH₃ vracht in het riool gelijk aan nul gesteld.



figuur 4: Verdeling van de atmosferische depositie over de compartimenten.

De oppervlakte van de vier verschillende compartimenten voor Nederland bedraagt respectievelijk:

A	onverhard oppervlak	30042 km ²
B	verhard oppervlak ongerioleerd	1598 km ²
C	verhard oppervlak gerioleerd	1783 km ²
Da	NCP	57270 km ²
Db	oppervlaktewater	8111 km ²

9 Emissieroutes via riool naar water

Emissies naar water vinden plaats door middel van directe emissies op oppervlaktewater en indirect door emissies uit het rioleringsstelsel, via overstorten, effluenten van RWZI's. In de factsheet "Effluenten RWZI's, regenwaterriolen, niet aangesloten riolen, overstorten en IBA's" [15] wordt dit verder beschreven. De emissies vinden plaats via de hemelwaterafvoer (hwa).

10 Regionalisatie

Voor elke stof is door het RIVM voor de betreffende jaren een depositieberekening gedaan met het OPS model. Deze is voor de betreffende jaren door het RIVM uitgerekend met het OPS-model op een rooster van 5x5 kilometer (NCP) en 1x1 kilometer (vasteland). Vervolgens zijn de deposities per gridcel met GIS-programmatuur toebedeeld aan de afzonderlijke compartimenten.

Voor het NCP komt de ruimtelijke verdeling 1 op 1 overeen met de OPS verdeling, alle depositie komt immers op het oppervlaktewater terecht. Voor het vasteland wordt per 1x1 gridcel naast oppervlaktewater ook onderscheid gemaakt naar onverhard, verhard gerioleerd en verhard niet gerioleerd. Hiervoor zijn gegevens gebruikt uit het LGN2019 (Landelijk Grondgebruik Nederland). De gegevens uit dit bestand gelden ook voor eerdere jaren.

11 Opmerkingen en wijzigingen ten opzichte van voorgaande jaren

ER1990-2020

Nieuwe berekeningen stikstofdepositie 2005-2020 op zoet en zout oppervlaktewater door RIVM met EMEPv4.33. Berekeningen stikstofdepositie 2005 – 2020 op land door RIVM met OPSv5.0.1.

De verdeling van de berekende deposities over Nederland is opnieuw uitgevoerd op basis van de LGN2018 kaart.

ER1990-2017

Oppervlakken verhard gerioleerd en verhard ongerioleerd zijn aangepast. Binnen de bebouwde kom werd een te groot percentage toegewezen aan verhard gerioleerd. Het oppervlak is aangepast van 4569 km² naar 2362 km².

ER1990-2016

Trendfactoren voor de PAK metingen zijn aangepast. Er wordt vanaf 2011 niet langer gebruik gemaakt van luchtemissies uit EmissieRegistratie of prognoses op basis van het rapport van Denier van der Gon [3b].

De emissies voor Benzo(b)fluorantheen zijn aangepast. De emissies op riool waren erg hoog in vergelijking met de overige PAK. De emissies zijn op basis van gevonden verhoudingsfactoren BbF tov BaP, BkF en InP.

Trendfactoren voor PAK aangepast. Voorheen werd gekeken naar de trend voor PAK op basis van de luchtemissies in de Nederlandse EmissieRegistratie.

ER1990-2015

Trendfactoren voor zware metalen zijn aangepast. In plaats van het jaargemiddelde wordt een 3-jarig gemiddelde berekend.

ER1990-2012

Nieuwe PAK berekeningen zijn doorgevoerd. Hiervoor zijn de regenwatermetingen uit de TNO/Deltares meetcampagne 2011/2012 gebruikt.

ER1990-2011

Twee nieuwe stoffen zijn toegevoegd: kobalt en vanadium. Daarnaast zijn er nieuwe trendfactoren afgeleid voor de scheepvaart voor NO_x en nikkel. Voor NO_x werd tot nu toe de trendfactor voor 2005 doorgekopieerd. Voor nikkel werden de trendfactoren uit het regenwatermeetnet aangehouden.

ER1990-2009 tweede ronde

Voor de zware metalen zijn de regenwatermeetnet gegevens van het RIVM gebruikt om de trend te bepalen. De emissies voor 2005 en 2008 zijn aangepast. In de voorgaande jaren was de trend bepaald door interpolatie van de prognose voor 2010. Daarnaast zijn voor het bepalen van de PAK en stikstof trendfactoren luchtemissies uit de EmissieRegistratie gebruikt en voor stikstof ook de Europese luchtemissies uit de EMEP database [11].

Correctie voor Eems stroomgebied

Ten onrechte was het gehele Eems stroomgebied meegenomen in de depositie op het NCP. De belasting op het Duitse deel van het Eems stroomgebied is uit de depositieberekeningen verwijderd.

Fluxen

Tabel B1 geeft een vergelijking van de depositieflux op de vier verschillende compartimenten zoals berekend in deze studie en de flux afgeleid uit metingen in het TNO meetnet [9] en uit het landelijk regenwatermeetnet van het RIVM [7]. Vergelijking met metingen is de grondslag geweest voor de bepaling van de depositiefluxen in eerdere studies. Voor diverse stoffen is de overeenstemming behoorlijk te noemen. Voor anderen zijn de verschillen nogal groot. Deze vergelijking is aanleiding geweest om voor een aantal stoffen (PCB, PCP en HBU) meetcorrectiefactoren op te nemen zoals weergegeven in tabel 1. Voor HCB en PCB zijn de depositiewaarden boven water aangepast (respectievelijk van 0,01 naar 0,10 en van 0,07 naar 0,30).

Verder valt in tabel B1 op dat de fluxen van bepaalde stoffen voor de verschillende ondergronden sterk uiteenlopen. Dit valt te verklaren uit de fysisch/chemische eigenschappen van de stoffen waarmee gerekend is.

Belasting NCP

Een vergelijking met eerdere studies is niet goed mogelijk aangezien de gebieden waarvoor de berekeningen zijn uitgevoerd (o.a. afwateringseenheden) verschillen. Een uitzondering betreft de studie "Atmosferische depositie Zoute Wateren" uit 2005-2006 [6]. Tabel C1 geeft een overzicht van de emissies, meetcorrectiefactoren en belasting op het NCP in beide studies.

De emissies en de meetcorrectiefactoren in beschouwing nemend kan gesteld worden dat de bijdragen tot de belasting op het NCP uit beide studies voor sommige stoffen in redelijke overeenstemming is. Voor andere stoffen zijn er aanzienlijke verschillen die grotendeels te verklaren zijn uit de verschillen in de emissies.

Stoffen

Stoffen die in deze studie niet behandeld zijn maar in eerdere studies wel, zijn:

- benzo(a)anthraceen
- carbendazim
- chloorthanolil
- diuron
- fenantheen
- isoproturon
- organotinverbindingen
- simazine
- tinverbindingen

De reden voor het niet meenemen van deze stoffen is gelegen in het feit dat voor deze stoffen de emissiebestanden van onvoldoende kwaliteit werden beoordeeld.

Originele factsheet::

Roemer. M (TNO). J.H. van der Brugh (TNO) en N. van Duijnhoven (Deltares). Atmosferische depositie op Nederland en Nederlands Continentaal Plat. april 2008

De factsheets worden alleen geupdate wanneer er een methodiek wijziging heeft plaatsgevonden.

12 Betrouwbaarheid en verbeterpunten

Aan elk onderdeel van de emissieberekening is een betrouwbaarheid toegekend. De volgende betrouwbaarheidspercentages zijn hierbij gehanteerd: 1%, 5%, 10%, 25%, 50%, 100%, 200% en 400%. Een betrouwbaarheid van 1% wil zeggen dat het desbetreffende onderdeel zeer betrouwbaar is; een betrouwbaarheid van 400% betekent een grote onzekerheid in het desbetreffende onderdeel. Alle percentages ertussen geven van laag naar hoog een steeds kleinere betrouwbaarheid en een grotere onzekerheid. Voor elk van de onderdelen is de betrouwbaarheid ingeschat door een groep experts. Hierbij zijn onder andere de volgende punten in overweging genomen:

- Metingen: zijn er metingen beschikbaar? Om hoeveel metingen gaat het? Zijn ze recent. realistisch en representatief? Hoe groot is de variatie?
- Als er geen metingen voorhanden zijn: is er veel literatuur of zijn er andere informatiebronnen beschikbaar?
- Als de emissie d.m.v. een model wordt verkregen: wat is de schaal van het model en is het model gevalideerd?
- Aannames: moeten er veel aannames gedaan worden en hoe groot zijn die?

- Regionalisatie: geeft de EVV een goed beeld van de ruimtelijke verdeling van de bron? Hoe groot is de variatie van de emissie in de ruimte en kan deze variatie door de EVV wel goed over Nederland verdeeld worden?

Onderdeel emissieberekening	Betrouwbaarheidspercentage (%)
Berekening jaarvrachten (OPS + validatie):	
- stikstof	25
- metalen	50
- PAK	100
- overige stoffen	200
Verdeling compartimenten	
- direct	5
- indirect	200
- bodem	5
Emissieroutes via riool naar water	10
Regionalisatie:	
- stikstof	50
- metalen	100
- PAK	100
- overige stoffen	100

Zowel de emissieverklarende variabele als de emissiefactor zijn onderdeel van het OPS model. Alleen de berekende jaarvrachten met behulp van OPS en de daarbij horende validatie met meetgegevens krijgt een betrouwbaarheidspercentage. Voor stikstof wordt de berekende belasting met OPS niet gevalideerd met meetgegevens omdat het model redelijk betrouwbare belastingen oplevert. Stikstof krijgt daarom een betrouwbaarheidspercentage van 25%. Voor metalen zijn de invoergegevens van OPS redelijk bekend, maar de OPS resultaten dienen wel gevalideerd te worden. Hiervoor wordt de meetgegevens uit het landelijk meetnet regenwater van RIVM gebruikt. De metalen krijgen een betrouwbaarheidspercentage van 50%. Voor PAK en de overige stoffen is de invoer matig en is de validatie ook minder goed. Voor PAK vinden incidenteel metingen plaats, voor overige stoffen zijn ze niet beschikbaar. De PAK krijgen een betrouwbaarheidspercentage van 100%, de overige stoffen een percentage van 200%.

De verdeling van de emissies over de verschillende compartimenten verloopt via een aantal routes (zie Hoofdstuk 8) en wordt bepaald door de kwaliteit van de GIS gegevens. Deze gegevens zijn goed bekend voor de directe belasting op bodem en oppervlaktewater. Beide krijgen een betrouwbaarheidspercentage van 5%. De indirecte belasting op het riool is minder betrouwbaar. Voordat de stoffen een RWZI bereiken hebben ze al een behoorlijke weg afgelegd. Een groot deel van de stoffen blijft achter in straatvuil of het rioleringsproces. De betrouwbaarheid wordt op 200% geschat. De verdeling van de indirecte emissies via het riool naar water krijgt een betrouwbaarheidspercentage van 10% [15]. De regionalisatie van de emissies is redelijk betrouwbaar omdat het zwaartepunt van de bronnen wel bekend is en het model wat dit betreft redelijk betrouwbaar is. De weerjaren worden minder goed meegenomen. OPS wordt voor een bepaald jaar gedraaid en de emissies voor de daaropvolgende jaren worden berekend met behulp van trendfactoren. Uitzondering is de stikstofdepositie, die voor elk van de afzonderlijke jaren tussen 2005 en 2020 is uitgerekend met de meteo van dat jaar. Om die reden krijgt stikstof een betrouwbaarheidspercentage van 50% toegewezen en de andere stoffen een betrouwbaarheid van 100%.

Als belangrijkste verbeterpunten kunnen worden genoemd:

- Opgemerkt wordt dat voor diverse metalen de meetcorrectiefactor fors is (Tabel 1). Dit grote verschil suggereert dat de emissies van deze stoffen flink onderschat worden. Gegeven de aanzienlijke aandacht die in een recente studie [3] aan de emissies van deze stoffen is geschonken is dat een opvallende constatering. Het blijkt echter dat de meetresultaten verkregen uit twee verschillende methoden niet eenduidig zijn. In deze studie en in eerdere studies over de belastingen van Nederland en NCP zijn de metingen uit het landelijk meetnet regenwater gebruikt [7]. Voor vier metalen (arsen, cadmium, kwik en zink) meet het RIVM sinds 1990 de concentratie in aerosol. Er bestaat een goed bekend verband tussen de jaarlijkse depositieflux uitgaande van concentraties van metalen in de lucht, en die gebaseerd op de concentraties in regenwater. Het blijkt dat de jaarlijkse depositieflux gebaseerd op concentraties in regenwater circa een factor drie hoger is dan die op grond van concentraties van metalen in de lucht. Gesteld wordt dat de twee meetbestanden niet samenhangend zijn. Aanbevolen wordt dat het RIVM hierover helderheid verschaft, en aangeeft welk bestand het beste te gebruiken is. Belangrijk verbeterpunt is om overeenstemming te bereiken tussen de meetgegevens van metalen uit het regenwaternet en die uit de aerosol metingen.

- verbetering van emissiegegevens van zware metalen en overige stoffen. De berekeningen dateren uit 2003
- verbetering van schattingen van de depositiesnelheid van gasvormige organische verbindingen
- verbetering van de verificatie van modelberekeningen door het uitvoeren van metingen. Dit geldt vooral voor de schattingen op het NCP.
- om meer stoffen op te kunnen nemen is het nodig dat van deze stoffen betere emissiegegevens beschikbaar komen en dat er meetcampagnes worden uitgevoerd.
- De nieuwe verdeling naar type oppervlak is berekend met LGN2018. Eerdere jaren worden ook gebaseerd op de LGN2018 kaart. Voor eerdere jaren 2000 en 2010 zou het wenselijk zijn om ook een onderverdeling te hebben op basis van kaarten geldend voor die jaren. De LGN-kaarten voor die jaren zijn minder gedetailleerd en daardoor niet geschikt voor de toedeling naar type oppervlakte. Er dienen andere ondergrondkaarten gebruikt te worden.

13 Reacties

Voor vragen naar aanleiding van dit werkdocument of opmerkingen kan contact worden opgenomen met emissieregistratie@deltares.nl.

14 Referenties

- [1] Duyzer. J.H. R.A.J. Plant. A. Bleeker (2002). Bepaling van emissies naar water door atmosferische depositie. TNO-MEP rapport R2002/268. Utrecht.
- [2] Bleeker A. en J.H. Duyzer (2003). Belasting van het oppervlaktewater door atmosferische depositie- berekening van directe depositie van 18 probleemstoffen naar water. TNO rapport 2003/476. Utrecht.
- [3a] Denier van der Gon H.. M. van het Bolscher. A. Visschedijk en P. Zandveld (2005). Study to the effectiveness of the UN-ECE Heavy Metals Protocol and costs of additional measures. TNO rapport B&)-A R2005/193. TNO. Utrecht.
- [3b] Denier van der Gon H.. M. van het Bolscher. A. Visschedijk en P. Zandveld (2005). Study to the effectiveness of the UN-ECE Persistent Organic Pollutants Protocol and costs of additional measures. TNO rapport B&)-A R2005/193. TNO. Utrecht.
- [4] Berdowski J.. J. Baas. J. Bloos. A. Visschedijk en P. Zandveld (1997). The European Inventory of Heavy Metals and Persistent Organic Pollutants for 1990. UFO Plan 104.02 672/03 UBA/Berlijn en TNO/Utrecht.
- [5] Van Jaarsveld.J.A. (1995). Modelling the long-term atmospheric behaviour of pollutants on various spatial scales. Proefschrift Universiteit Utrecht. ISBN 90-393-0950-7
- [6] Roemer M.. J. Duyzer. J. Hulskotte. J. van den Roovaart en K. van de Ven (2006). Factsheet Atmosferische depositie op zoute wateren.
- [7] Stolk A. (2001). Landelijk meetnet regenwatersamenstelling Meetresultaten 2000. RIVM Rapport 723101 057 / 2001. Bilthoven + jaarlijkse databestanden met regenwatersamenstellingen.
- [8] Duyzer J. en A.W. Vonk (2003). Atmosferische depositie van pesticiden. PAK's en PCB's in Nederland. TNO rapport R2003/255. TNO. Utrecht.
- [9] Duyzer J. en A.W. Vonk (2001). Atmosferische depositie van POP in Nederland: resultaten van de metingen in het jaar 2000. TNO rapport R2001/246. TNO. Utrecht.
- [9a] Duyzer J.. Westrate H.. Visschedijk A.. Atmosferische depositie van stoffen naar oppervlaktewater. TNO-060-UT-2012-01650. 7 december 2012
- [10] Denier van der Gon en A.Visschedijk (2004). LOTOSEUROS emissies

- [11] Webdab: elektronische emissie-informatie van EMEP (www.emep.int).
- [12] EMEP (2007) Transboundary pollution of acidification, eutrophication and ground level ozone (Tabellen A1-A5). Report 1/7. DNMI. Oslo. Noorwegen.
- [13] Amann M.W. Asman. I. Bertok. J. Cofala. C. Heyes. Z. Klimont. W. Schopp en F. Wagener (2007). Cost-effective emission reductions to meet the environmental targets of the thematic strategy on air pollution under different greenhouse gas constraints. NEC Scenario Analysis Report No. 5. IIASA. Laxenburg. Oostenrijk.
- [14] Informatie afkomstig van de emissieregistratie. www.emissieregistratie.nl
- [15] Rijkswaterstaat WVL. 2014. Effluenten RWZI's. regenwaterriolen. niet aangesloten riolen. overstorten en IBA's. factsheet diffuse bronnen. mei 2014.
- [16] Bestand Bodemgebruik 2003 (2003). Centraal Bureau voor de Statistiek. Voorburg.
- [17] Hulskotte J. en J. Duyzer (2004). Belasting van het oppervlaktewater door atmosferische depositie. TNO rapport R2004/526. TNO. Utrecht.
- [18] Most. P.F.J. van der *et al.*. juli 1998. *Methoden voor de bepaling van emissies naar lucht en water*. Publicatiereeks Emissieregistratie. nr. 44.
- [19] Duyzer J., H Weststrate en A. Visschedijk (2014). Atmosferische depositie van stoffen naar oppervlaktewater. TNO rapport TNO-060-UT-2012-01650.
- [20] Hoogerbrugge R., G. Geilenkirchen. Grootschalige concentratie- en depositiekaarten Nederland, Rapportage 2021. RIVM rapport 2021-0068

Bijlage A Overzicht stoffen

Tabel A1: Stoffenlijst

Stoffen (stofnr)	NL ER ¹ DvdG-2000	buitenland DvdG-2000 ²	Buiten ³ lucht meting	Fysisch. chemische karakt. ⁴	Status ⁵
Ja-stoffen⁶					
Cadmium (104)	2003	DvdG-2000	RIVM	Ja	1
Kwik (110)	2003	DvdG-2000	-	Ja	2
Lood (111)	2003	DvdG-2000	RIVM	Ja	1
Arseen (103)	2003	DvdG-2000	RIVM	Ja	1
Chroom (105)	2003	DvdG-2000	RIVM	Ja	1
Koper (109)	2003	DvdG-2000	RIVM	Ja	1
Nikkel (114)	2003	DvdG-2000	RIVM	Ja	1
Seleen (115)	2003	DvdG-2000	-	Ja	2
Zink (120)	2003	DvdG-2000	RIVM	Ja	1
Hexachloorbenzeen	DvdG-2000	DvdG-2000	TNO	Ja	1
Polychloorbifenyyl	DvdG-2000	DvdG-2000	TNO	Ja	1
Hexachloorhexaan	DvdG-2000	DvdG-2000	TNO	Ja	1
Benzo(a)pyreen (539)	2005	JD [9a]	TNO	Ja	1
Benzo(b)fluorantheen (540)	2005	JD [9a]	TNO	Ja	1
Benzo(k)fluorantheen (541)	2005	JD [9a]	TNO	Ja	1
Indeno-(1.2.3.cd)pyreen (543)	2005	JD [9a]	TNO	Ja	1
Benzeen (515)	2000	Berdw-1990 ⁷	RIVM	Ja	3
Benzo(g,h,i)peryleen (542)	2000	Berdw-1990	TNO	Ja	3
Endosulfan	DvdG-2000	DvdG-2000	TNO	Ja	1
Polygebromeerde difenylethers	DvdG-2000	DvdG-2000	-	ja	2
Hexachloorbutadieen	DvdG-2000	DvdG-2000	TNO	ja	1
Pentachloorfenol (679)	2005	DvdG-2000	TNO	ja	1
Tetrachloortheen (619)	2005	Berdw-1990	-	Ja	4
Trichloortheen (621)	2005	Berdw-1990	-	Ja	4
N-totaal	2005-2019	CEIP 2005-2019	RIVM		
Nee stoffen⁶					
Di2-thylhexylftalaat	2005	-	-	ja	N
Dichloorethaan.1.2	2005	??	-	Ja	N
Dichloormethaan	2005	??	-	ja	N
Anthraceen ¹⁰	ER ¹¹	UBA ¹¹	TNO	Ja	N
Atrazine	RIALT ¹²	RIALT	TNO	Ja	N
Chloorvenfinvos	2005	RIALT	TNO	ja	N
Chloorpyrifos	2005	RIALT	TNO	Ja	N
Trichloorbenzenen	2005	??	-	Ja?	N
Trichloormethaan	2005	-	-	Ja	N
Tetrachloormethaan (620)	2005	??	-	Ja	N
Dichloorvos	RIALT	RIALT	TNO	ja	N
Mecoprop	niet	RIALT	-	ja	N
SCCP (short chain chlorinated paraffins)	DvdG-2000	??	-	Ja?	N
Vanadium	??	??	-		N
Dieldrin	-	-	-	deels	N
Diuron	-	-	-	Ja	N
Isodrin	-	-	-		N
Isoproturon	2005	-	-		N
Alachloor	-	-	-	deels	N
Nonylfenol	-	-	-		N
Octylfenolen	-	-	-		N
Simazine	RIALT	RIALT	TNO	Ja	N
Stoffen (stofnr)	NL ER ¹ DvdG-2000	buitenland DvdG-2000 ²	Buiten ³ lucht meting	Fysisch. chemische karakt. ⁴	Status ⁵
Tributylverbindingen	-	-	-		N
Trifluralin	-	-	-	Ja	N
Trifenylytin	RIVM	-	-		N
MCPA (2-methyl-4-chlorophenoxyacetic acid)	2005	-	TNO	deels	N
Heptachloor	RIALT	RIALT	TNO	deels	N
Stoffen (stofnr)	NL ER ¹ DvdG-2000	buitenland DvdG-2000 ²	Buiten ³ lucht meting	Fysisch. chemische karakt. ⁴	Status ⁵
Bentazon	2005	RIALT	TNO	ja	N
Chloridazon	2005	RIALT	TNO	ja	N
Dichloorvos	RIALT	RIALT	TNO	ja	N
Dichloorprop	-	-	-		N

Stoffen (stofnr)	NL ER ¹ DvdG-2000	buitenland DvdG-2000 ²	Buiten ³ lucht meting	Fysisch. chemische karak. ⁴	Status ⁵
Dimethoaat	RIALT	RIALT	TNO	ja	N
Pyrazon	RIALT	RIALT	TNO	ja	N
Boor	-	-	-		N
Uranium	-	-	-		N
Propoxur	RIALT	RIALT	TNO	ja	N
Diazinon	RIALT	RI/ALT	TNO	ja	N
Hepterofof	-	-	-		N
Aldrin	0 ³	0	TNO	deels	N
Chlordane	0	0	-		N
Chlordecone	0	0	-		N
DDT (Dichlorodiphenyltrichloroethane)	0	0	-		N
Endrin	0	0	0	deels	N
Hexabroombifenyyl	0	0	-	deels	N
Mirex	0	0	-		N
Toxafeen	0	0	-	deels	N
Heptachloor	0	0	~0	deels	N

- 1) Als emissie is voorzien van een getal dan is de bron de Emissieregistratie (ER), of Denier van der Gon et al.. [3a/b], anders is de bron ofwel Berdowski et al.. (1995) [4] ofwel RIVM/ALTERRA
- 2) Als emissie is voorzien van een getal dan is de bron Denier van de Gon (2005). [3a/b]
- 3) RIVM meetnet, neerslag beslaat periode 1992-2004/5 in 4-wekelijks perioden. Stations: Beek, Biddinghuizen, de Bilt, de Zilk/Leiduin, Eibergen, Gilze-Rijen, Huijbergen, Kollumerwaard, Philippine, Rotterdam, Speulderbos, Valthermond/Witteveen, Vredepeel, Wageningen, Wieringerwerf; Voor N-totaal en benzeen worden luchtconcentraties bedoeld; TNO meetnet beslaat luchtmonsters en neerslagmonsters in de periode 2000-2001 in 4-wekelijks perioden; 19 stations verspreid over het land.
- 4) Deels: wel dampspanning, oplosbaarheid, moleculaire massa, maar geen depositiesnelheden.
- 5) Status; zie onderstaande tabel.
- 6) Ja-stoffen zijn stoffen waarover gerapporteerd is; Nee-stoffen worden niet gerapporteerd omdat er te weinig of onvoldoende betrouwbare informatie is
- 7) Gebaseerd op Berdowski et al.. (1995) [4]
- 8) Denier van der Gon en Visschedijk [10]
- 9) Naftaleenemissies zijn als 10% van de benzeenemissies verondersteld.
- 10) Anthraceen is " gepromoveerd" naar de "ja-groep". Er wordt niet voor gerekend, alleen is er geschaald via fluorantheen. (anthraceen = 0,11* fluorantheen.)
- 11) Info uit Hulskotte en Duyzer (2004). [17]
- 12) RIALT: emissiebestanden zoals gebruikt in Duyzer en Vonk (2003). [9].

Status-tabel

	1	2	3	4	N*
Emissies Nederland	ER/DvdG	ER/DvdG	ER/DvdG	ER/DvdG	
Emissies buitenland	DvdG	DvdG	Berd.	Berd.	
trend-info	ja	ja	nee	nee	
meetnet	ja	nee	ja	nee	
stofkarakteristiek	ja	ja	ja	ja	

* Nee-stoffen zijn stoffen waarvan de bestanden voor Nederlandse en buitenlandse emissies andere zijn dan de ER, DvdG dan wel Berdw.

Bijlage B Vergelijking Fluxen

Tabel B1 vergelijkt de depositieflux van een aantal stoffen op de vier verschillende bestemmingen met de depositieflux zoals die uit metingen volgt. De depositieflux per tijdseenheid en per oppervlakte-eenheid verschilt voor de vier verschillende bestemmingen. De verschillen in depositieflux tussen de bestemmingen worden veroorzaakt door de stoffeigenschappen. De depositieflux "water direct NCP" is circa een factor twee lager dan die van "water direct NL" wat te maken heeft met het feit dat het NCP verder weg gelegen is van vooral de Nederlandse bronnen dan de oppervlaktewateren in Nederland. De depositieflux uit metingen sluit goed aan bij de berekende depositiefluxen, wat gezien de toepassing van meetcorrectiefactoren niet vreemd is.

Tabel B1: Depositieflux (gram/ha/j) vergeleken met die uit metingen [8.9].

stofnaam	Bestemming. Flux (gram/ha/jr)				Flux (gram/ha/jr)
	Bodem direct NL	Verhard gerioleerd NL	Water direct NCP	Water direct NL	Metingen
Chroom ¹	1.3004	1.4345	0.6787	1.1025	1.204
Nikkel	4.6493	6.0664	2.5775	4.2453	3.853
Koper	34.9256	47.8254	6.9986	22.3991	20.298
Zink	119.5889	134.3886	44.8512	85.4753	90.900
Arseen	1.7195	1.8364	1.0566	1.4103	1.442
Cadmium	1.2200	1.3533	0.4373	0.9848	0.881
Lood	40.3790	44.7226	14.0677	29.3094	31.448
HexaChloorBenzeen	0.004187	0.005233	0.00028	0.00094	0.006
Hexachloorhexaan	0.0662	0.0831	0.0277	0.0283	0.023
Polychloorbifenyyl	0.0130	0.0164	0.00018	0.0025	0.05
Endosulfan	0.2115	0.2460	0.0657	0.1386	0.006
HexaChloorButadieen	0.00063	0.00064	0.00043	0.00047	0.0006
PentaChloorFenol	0.2276	0.4434	0.1063	0.1689	0.14

1: metingen alle zware metalen uit het landelijk regenwatermeetnet [7]. Flux is 2* flux natte depositie

2: metingen Benzo(a)pyreen en alle daarna genoemde stoffen uit TNO meetnet [8.9]

Bijlage C Vergelijking met eerdere studies

Een vergelijking van de resultaten met wat uit eerdere studies naar voren is gekomen is niet goed mogelijk aangezien de gebieden waarvoor de berekeningen zijn uitgevoerd (o.a. afwateringseenheden) verschillen. Een uitzondering betreft de studie "Atmosferische depositie Zoute Wateren uit 2005-2006 [6]. Tabel C1 geeft een overzicht van de emissies, meetcorrectiefactoren en belasting op het NCP in beide studies.

De meetcorrectiefactoren zijn voor beide studies nogal verschillend. In de huidige studie zijn alle regionale stations (verspreid over Nederland gebruikt) terwijl in de eerdere slechts drie kuststations gebruikt zijn; die studie was gericht op de zoute wateren en niet op Nederland als totaal.

De depositiesnelheden op zee (tabel 1) waren in beide studies gelijk.

Verder valt op dat de emissies voor hetzelfde peiljaar verschillend zijn in de twee studies. Grote verschillen bestaan voor koper en voor de binnenlandse emissies van cadmium en lood. De koperemissies zijn aangepast vanwege nieuwe schattingen van de bijdrage van remvoeringen. De reden van de grote verschillen in de aangeleverde emissies voor cadmium en lood is niet bekend.

Tabel C1: Vergelijking emissies en belasting NCP in deze studie en studie Atmosferische Depositie Zoute Wateren. Peiljaar 2000

Stof	Emissies naar lucht (ton/j)		Meet correctie factor	Belasting op NCP (kg/j)	
	ER	buitenland		door binnenlandse bronnen	door buitenlandse bronnen
Deze studie					
Cadmium	2.5	326	3.418	434	2070
Koper	87.4	4.990	2.658	7.105	56.849
Kwik	0.6	315	1	31	869
Lood	47.2	12.995	3.823	9.185	71.387
Nikkel	19.1	3.730	1.018	935	9.618
Zink	99.4	16.881	5.075	18.061	238.824
Studie zoute wateren					
Cadmium	1.0	376	1.85	102	2.165
Koper	19.6	2.826	9.46	8.880	65.088
Kwik	0.8	343	1	43	917
Lood	29.2	35.344	1.17	2.010	94.677
Nikkel	24.9	4.052	0.63	1.006	9.883
Zink	94.1	19.409	2.77	11.277	217.896

Een ander verschil is dat in de huidige studie gerekend is volgens de meteorologie van 2000, terwijl in de eerdere studie gebruik is gemaakt van de langjarige gemiddelde meteorologie 1990-2000. Dit verschil is de reden voor afwijkingen van niet meer dan 10-20%. Tenslotte wordt opgemerkt dat vergelijking van alleen de emissies niet alles verklaart. Van belang is vooral ook de bronhoogte, de hoogte waarop de stoffen in de atmosfeer uitgestoten wordt. De bronhoogte is van belang voor de NO_x emissie uit bijvoorbeeld elektriciteitscentrales. Die vergelijking is niet gemaakt.

De emissies en de meetcorrectiefactoren in beschouwing nemend kan gesteld worden dat de bijdrage tot de belasting op het NCP uit beide studies voor sommige stoffen in redelijke overeenstemming is. Voor andere stoffen zijn er aanzienlijke verschillen die grotendeels te verklaren zijn uit de verschillen in de emissies.